



УДК: 615.83:615.89

МАКАЦ Дм.В.

## БІОФІЗИЧНА РЕАЛЬНІСТЬ МАТРИЧНОГО ПРОГНОЗУ ЗА ПРАВИЛАМИ “ДІД-ВНУК (БАТЬКО-СИН)” І “ПІВДЕНЬ–ПІВНІЧ”

(ІНФОРМАЦІЯ 3)

Старший науковий працівник (Вінницька філія Державного підприємства Український НДІ медицини транспорту МОЗ України)

*Наводимо розроблену Модель і звертаємо увагу що її графологічна структура біофізично ідентифікує всю системну взаємозалежність. При цьому вона переводить традиційну Голкотерапію в статус доказової медицини і обумовлює її наукове значення в терапевтичній і реабілітаційній практиці...*  
**Ключові слова:** Чжень-цзю терапія, акупунктурні канали, функціональна вегетологія.

*Here, we introduce the developed Model and draw your attention to the fact that its graphological structure biophysically identifies the entire systemic interdependency. At the same time, it transforms traditional Acupuncture therapy into the status of evidence-based medicine and conditions its scientific value in therapeutic and rehabilitation practice ...*

**Key words:** Zhenjiu therapy, acupuncture channels, functional vegetology.

*Наводим разработанную Модель и обращаем внимание что ее графологическая структура биологический идентифицирует всю системную взаимозависимость. При этом она переводит традиционную Иглотерапию в статус доказательной медицины и обуславливает ее научное значение в терапевтической и реабилитационной практике.*

**Ключевые слова:** Чжень-цзю терапия, акупунктурные каналы, функциональная вегетология.

### Вступ

Однією з проблем Голкотерапії є необхідність вірогідного прогнозу наслідків терапевтичних та реабілітаційних алгоритмів на основі Матричної експертизи системної залежності. При цьому необхідно доказово вирішити наступні питання:

– чи можна на основі графологічної структури Матриці передбачити майбутню динаміку системної залежності [всупереч традиційним правилам ДІД-ВНУК (БАТЬКО-СИН) та ПІВДЕНЬ-ПІВНІЧ].

– встановити ступінь вірогідності Матричної “ідентифікації системної залежності”?

– доказати співвідносність Матричної ідентифікації системної залежності з її біофізичною реальністю?

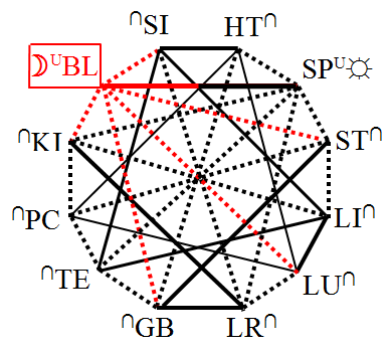
В якості доказової бази ми обрали Матричний аналіз виявлених практичних помилок традиційної акупунктури. Вони не пройшли попередню біофізичну експертизу і уже відомі нашим можливим опонентам...

Маючи на увазі відсутність суттєвих статевовікових особливостей, розглянемо проблемні питання на прикладах жіночої групи. При цьому нагадаємо, що суцільними лініями Матриці визначені напрямки синхронної системної залежності, а пунктирними – асинхронної.

### 1. БІОФІЗИЧНА РЕАЛЬНІСТЬ МАТРИЧНОГО ПРОГНОЗУ ЗА ПРАВИЛОМ “ДІД-ВНУК (БАТЬКО-СИН)”

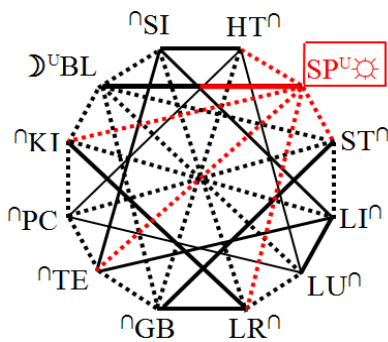
Матрична експертиза теоретичних положень за правилом “ДІД-ВНУК (БАТЬКО-СИН)” свідчить про повну відповідність біофізичної реальності з графологічною структурою Матриці. Розглянемо проблему на окремих прикладах.

Зростання активності **BL** веде до пригнічення акупунктурних каналів **GB–SI** (мал.1.1). В даному випадку Матричні зв’язки указують шляхи біофізичної трансформації каналів. Для “–GB” (+BL=–GB), для “–SI” (+BL=–SI). Даним шляхом можна передбачити активність любого з наведених каналів...



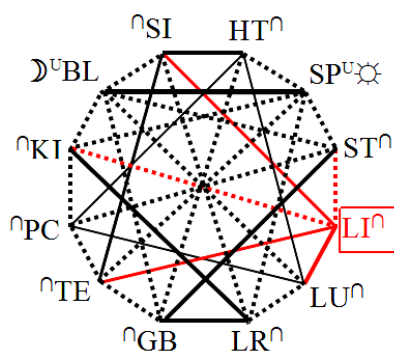
Мал.1.1 Матрична ідентифікація системної залежності (ДІД-ВНУК) при **+ BL**

Зростання активності **SP** веде до пригнічення акупунктурних каналів LU–KI (мал.1.2). В даному випадку Матричні зв'язки указують шляхи біофізичної трансформації каналів. Для “-LU” (+SP= -HT-LU), для “-KI” (+SP= -KI). Даним шляхом можна передбачити активність любого з наведених каналів...



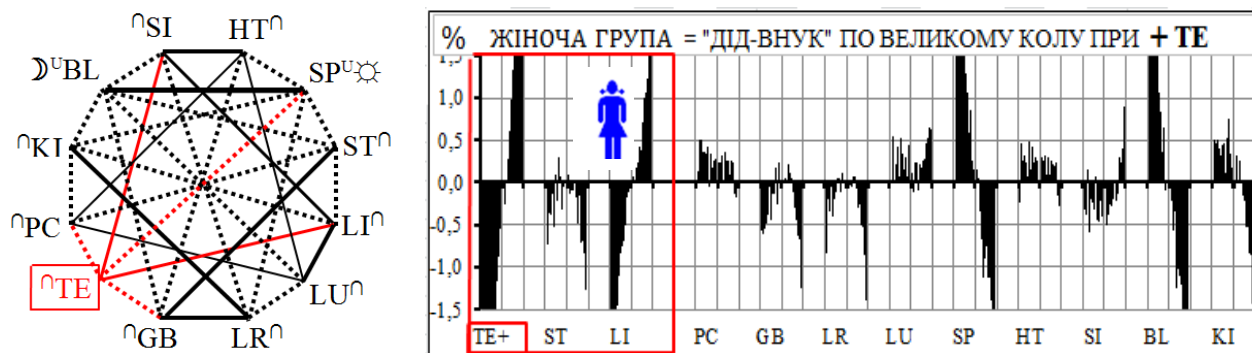
Мал.1.2 Матрична ідентифікація системної залежності (ДІД-ВНУК) при **+ SP**

Зростання активності **LI** веде до пригнічення акупунктурних каналів BL–GB (мал.1.3). В даному випадку Матричні зв'язки указують шляхи біофізичної трансформації каналів. Для “-BL” (+LI= -BL), для “-GB” (+LI= +TE GB). Даним шляхом можна передбачити активність любого з наведених каналів...



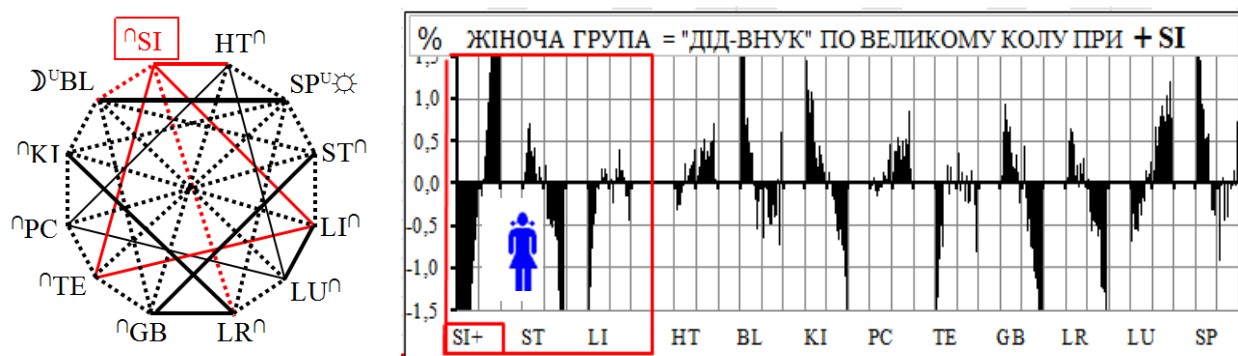
Мал.1.3 Матрична ідентифікація системної залежності (ДІД-ВНУК) при **+ LI**

Зростання активності **TE** веде до  $\cap$  +ST і +LI (мал.1.4). В даному випадку Матричні зв'язки указують шляхи біофізичної трансформації каналів. Для “ $\cap$ +ST” (+TE= -PC  $\cap$ +ST), для “+LI” (+TE= +LI). Указаним шляхом можна передбачити активність любого з наведених каналів...



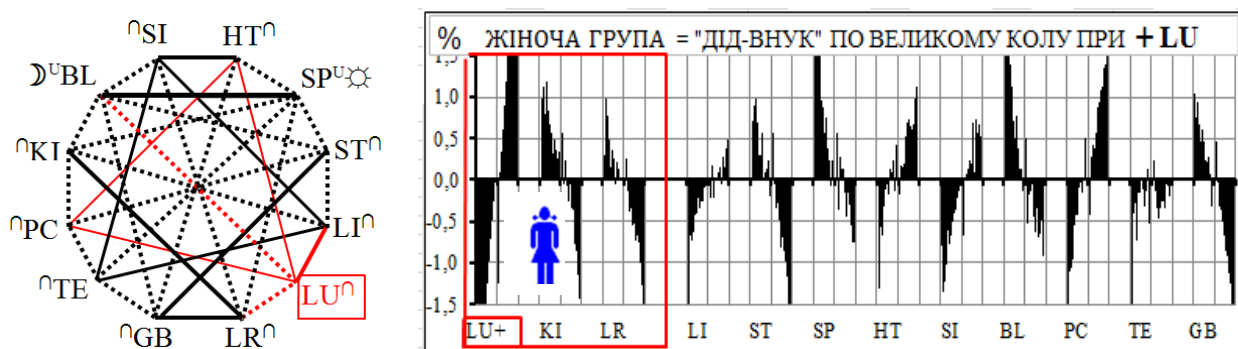
Мал.1.4 Матрична ідентифікація системної залежності (ДІД-ВНУК) при + TE

Зростання активності **SI** веде до  $-ST$  і  $+LI$  (мал.1.5). В даному випадку Матричні зв'язки указують шляхи біофізичної трансформації каналів. Для " $-ST$ " ( $+SI = +LI - ST$ ), для " $+LI$ " ( $+SI = +LI$ ). Указаним шляхом можна передбачити активність любого з наведених каналів...



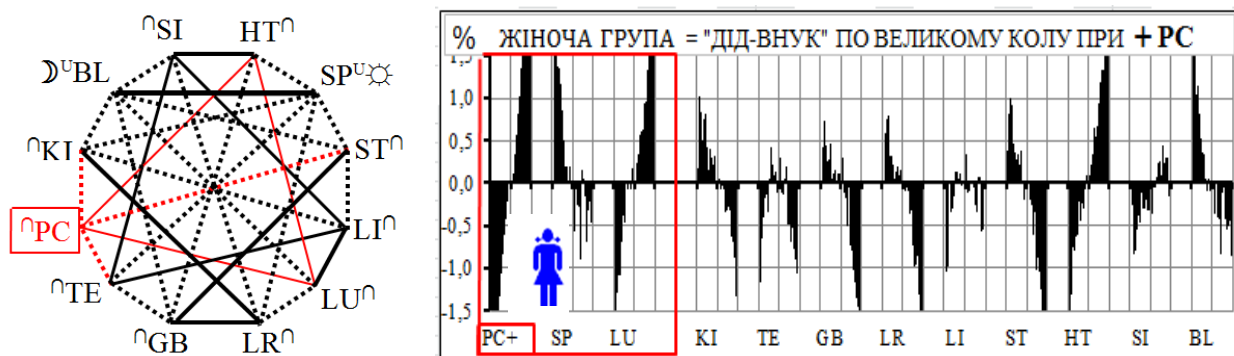
Мал.1.5 Матрична ідентифікація системної залежності (ДІД-ВНУК) при + SI

Зростання активності **LU** веде до  $-KI$  і  $-LR$  (мал.1.6). В даному випадку Матричні зв'язки указують шляхи біофізичної трансформації каналів. Для " $-KI$ " ( $+LU = +BL - KI$ ), для " $-LR$ " ( $+LU = -LR$ ). Указаним шляхом можна передбачити активність любого з наведених каналів...



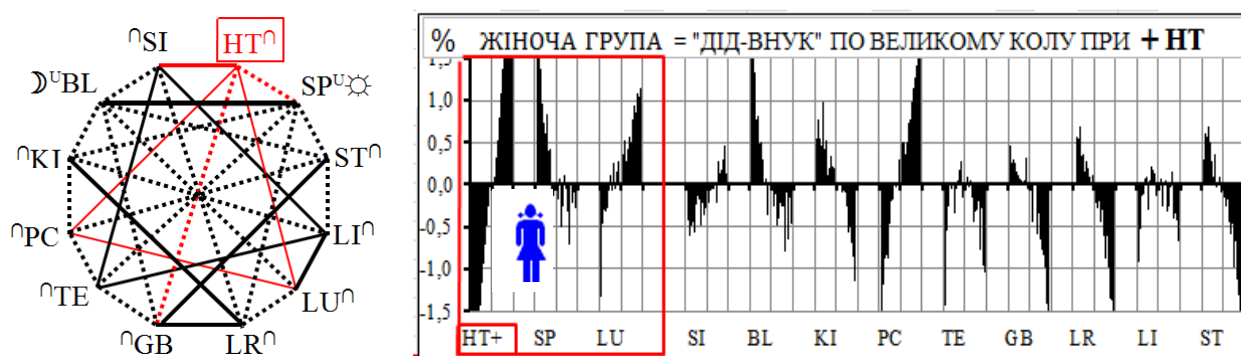
Мал.1.6 Матрична ідентифікація системної залежності (ДІД-ВНУК) при + LU

Зростання активності **PC** веде до  $-SP$  і  $+LU$  (мал.1.7). В даному випадку Матричні зв'язки указують шляхи біофізичної трансформації каналів. Для " $-SP$ " ( $+PC = +HT - SP$ ), для " $+LU$ " ( $+PC = +LU$ ). Указаним шляхом можна передбачити активність любого з наведених каналів...



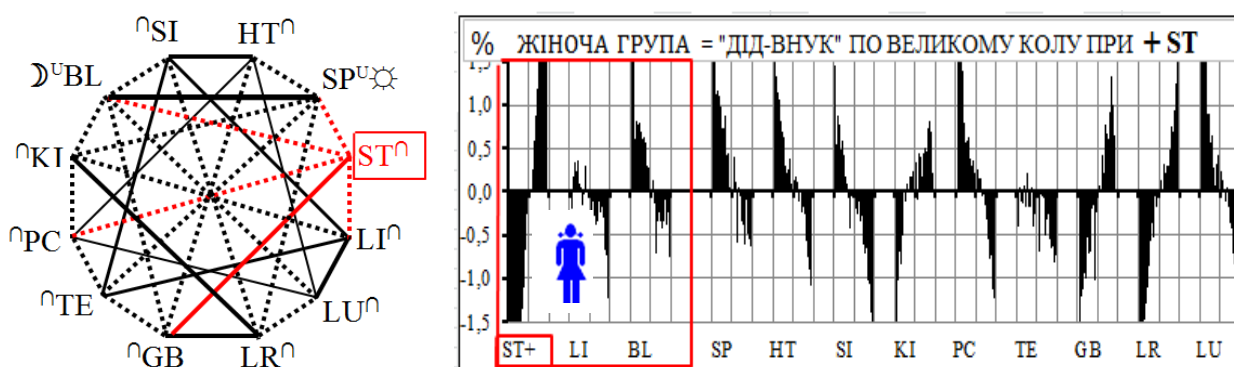
Мал.1.7 Матрична ідентифікація системної залежності (ДІД-ВНУК) при + PC

Зростання активності **HT** веде до  $\cup$ -SP і +LU (мал.1.8). В даному випадку Матричні зв'язки указують шляхи біофізичної трансформації каналів. Для " $\cup$ -SP" (+HT=  $\cup$ -SP), для "+LU" (+HT= +LU). Указаним шляхом можна передбачити активність любого з каналів...



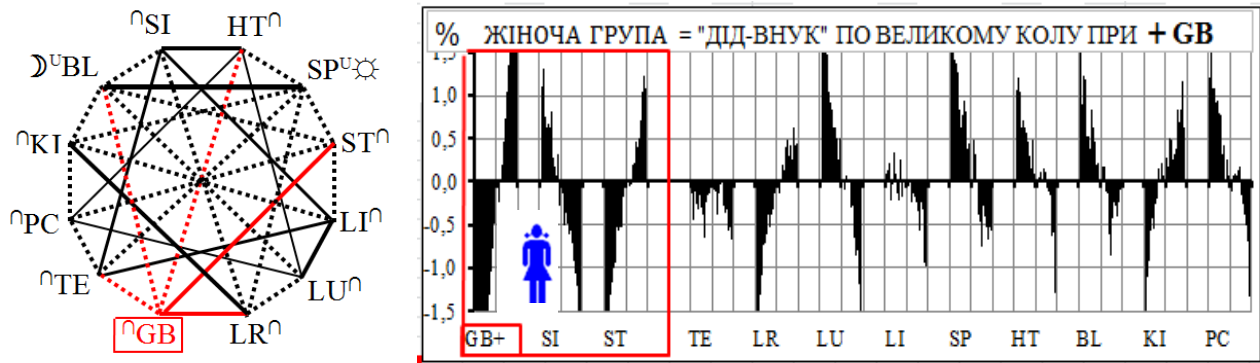
Мал.1.8 Матрична ідентифікація системної залежності (ДІД-ВНУК) при + HT

Зростання активності **ST** веде до -LI і -BL (мал.1.9). В даному випадку Матричні зв'язки указують шляхи біофізичної трансформації каналів. Для "-LI" (+ST= -LI), для "-BL" (+ST= -BL). Указаним шляхом можна передбачити активність любого з наведених каналів...



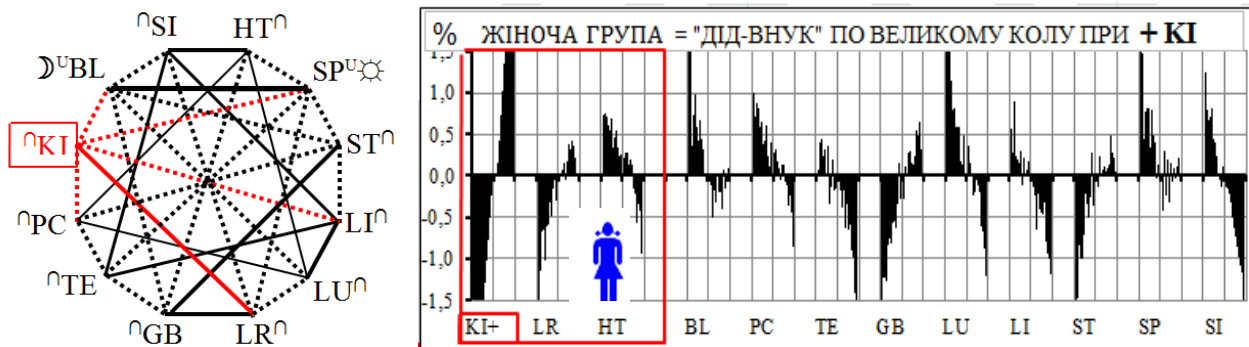
Мал.1.9 Матрична ідентифікація системної залежності (ДІД-ВНУК) при + ST

Зростання активності **GB** веде до -SI і +ST (мал.1.10). В даному випадку Матричні зв'язки указують шляхи біофізичної трансформації каналів. Для "-SI" (+GB= +LR-SI), для "+ST" (+GB= +ST). Указаним шляхом можна передбачити активність любого з наведених каналів...



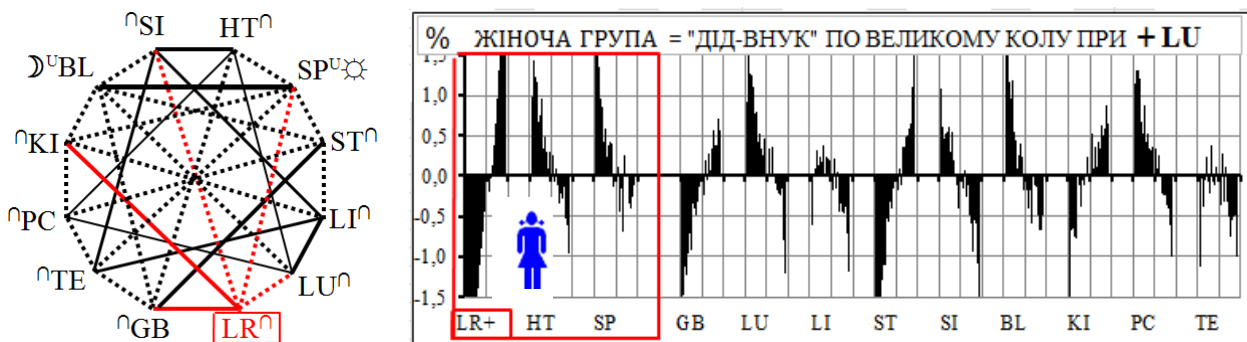
Мал.1.10 Матрична ідентифікація системної залежності (ДІД-ВНУК) при + GB

Зростання активності **KI** веде до +LR і -HT (мал.1.11). В даному випадку Матричні зв'язки указують шляхи біофізичної трансформації каналів. Для "+LR" (+KI= +LR), для "-HT" (+KI= -PC-HT). Указаним шляхом можна передбачити активність любого з наведених каналів...



Мал.1.11 Матрична ідентифікація системної залежності (ДІД-ВНУК) при + KI

Зростання активності **LR** веде до -HT і -SP (мал.1.12). В даному випадку Матричні зв'язки указують шляхи біофізичної трансформації каналів. Для "-HT" (+LR= +GB-HT), для "-SP" (+LR= -SP). Указаним шляхом можна передбачити активність любого з наведених каналів...



Мал.1.12 Матрична ідентифікація системної залежності (ДІД-ВНУК) при + LR

### Висновки.

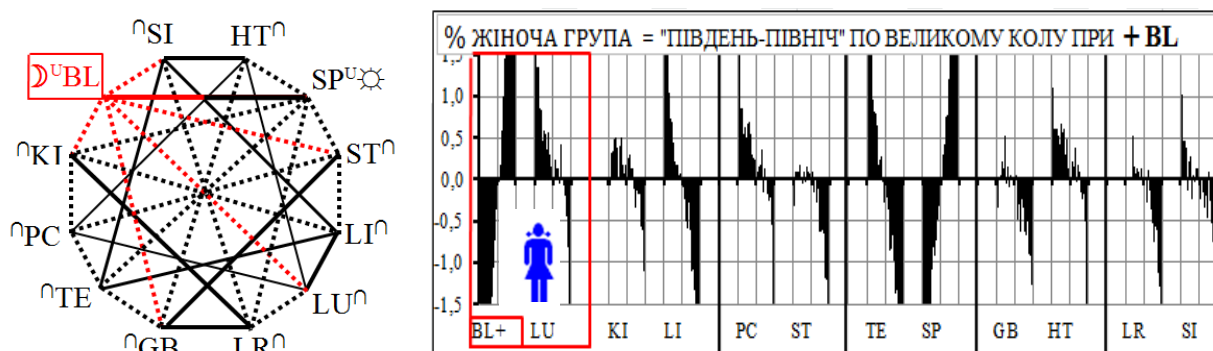
1. Матрична експертиза системної біофізичної залежності за правилом "ДІД-ВНУК (БАТЬКО-СИН)" підтверджує експериментальні дані і структурну логічність "Вегетативної матриці Макаца".

2. Звертає на себе увагу функціональна універсальність Матриці...

## 2. БІОФІЗИЧНА РЕАЛЬНОСТЬ МАТРИЧНОГО ПРОГНОЗУ ЗА ПРАВИЛОМ “ПІВДЕНЬ–ПІВНІЧ”

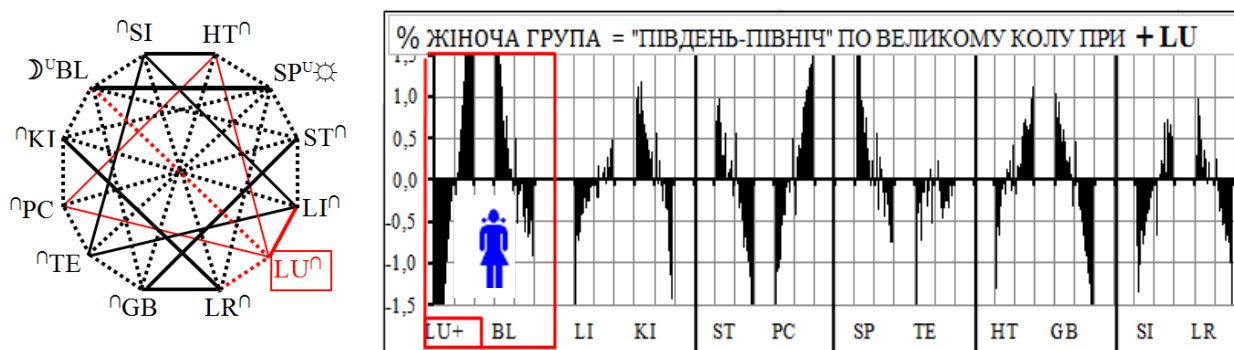
Матрична експертиза теоретичних положень за правилом “ПІВДЕНЬ–ПІВНІЧ” свідчить про повну відповідність біофізичної реальності з графологічною структурою Матриці. Розглянемо проблему на окремих прикладах.

Зростання активності **BL** веде до **-LU** (мал.2.1). В даному випадку Матричні зв’язки указують шлях біофізичної трансформації каналів. Для “**-LU**” (**+BL=-LU**). Указаним шляхом можна передбачити активність любого з наведених каналів...



Мал.2.1 Матрична ідентифікація системної залежності (південь–північ) при **+BL**

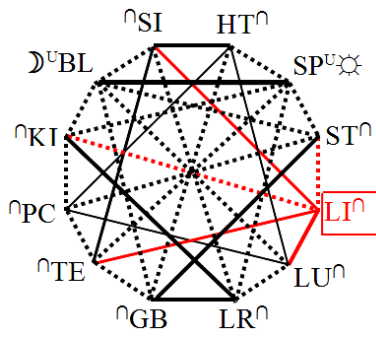
Зростання активності **LU** веде до **-BL** (мал.2.2). В даному випадку Матричні зв’язки указують шлях біофізичної трансформації каналів. Для “**-BL**” (**+LU=-BL**). Указаним шляхом можна передбачити активність любого з наведених каналів...



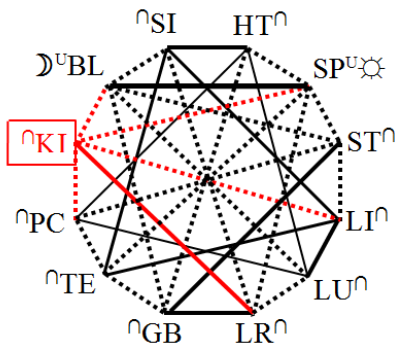
Мал.2.2 Матрична ідентифікація системної залежності (південь–північ) при **+LU**

Зростання активності **LI** веде до **-KI** (мал.2.3). В даному випадку Матричні зв’язки указують шлях біофізичної трансформації каналів. Для “**-KI**” (**+LI=-KI**). Указаним шляхом можна передбачити активність любого з каналів...

Зростання активності **KI** веде до **-LI** (мал.2.4). В даному випадку Матричні зв’язки указують шлях біофізичної трансформації каналів. Для “**-LI**” (**+KI=-LI**). Указаним шляхом можна передбачити активність любого каналу...

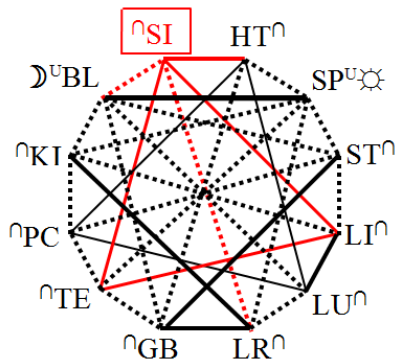


Мал.2.3 Матрична ідентифікація системної залежності (ПІВДЕНЬ–ПІВНІЧ) при **+ LI**



Мал.2.4 Матрична ідентифікація системної залежності (ПІВДЕНЬ–ПІВНІЧ) при **+ KI**

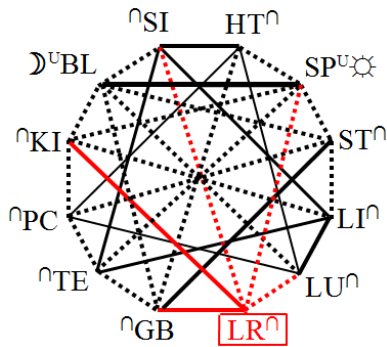
Зростання активності **SI** веде до **-LR** (мал.2.5). В даному випадку Матричні зв'язки указують шлях біофізичної трансформації каналів. Для “**-LR**” (**+SI = -LR**). Указаним шляхом можна передбачити активність любого з наведених каналів...



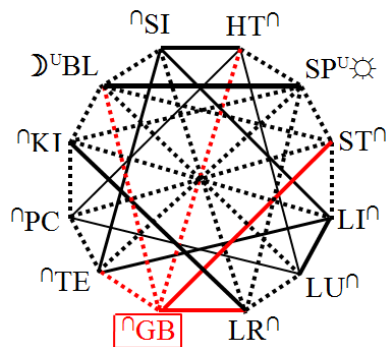
Мал.2.5 Матрична ідентифікація системної залежності (ПІВДЕНЬ–ПІВНІЧ) при **+ SI**

Зростання активності **LR** веде до **-SI** (мал.2.6). В даному випадку Матричні зв'язки указують шлях біофізичної трансформації каналів. Для “**-SI**” (**+LR = -SI**). Указаним шляхом можна передбачити активність любого з наведених каналів...

Зростання активності **GB** веде до **-HT** (мал.2.7). В даному випадку Матричні зв'язки указують шлях біофізичної трансформації каналів. Для “**-HT**” (**+GB = -HT**). Указаним шляхом можна передбачити активність любого з наведених каналів...

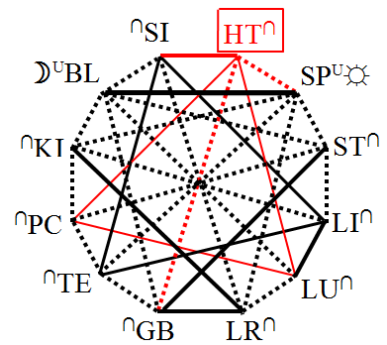


Мал.2.6 Матрична ідентифікація системної залежності (південь–північ) при **+ LR**



Мал.2.7 Матрична ідентифікація системної залежності (південь–північ) при **+ GB**

Зростання активності **HT** веде до **-GB** (мал.2.8). В даному випадку Матричні зв'язки указують шлях біофізичної трансформації каналів. Для **"-GB"** (**+HT = -GB**). Указаним шляхом можна передбачити активність любого з наведених каналів...

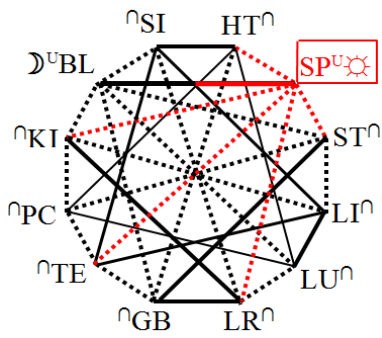


Мал.2.8 Матрична ідентифікація системної залежності (південь–північ) при **+ HT**

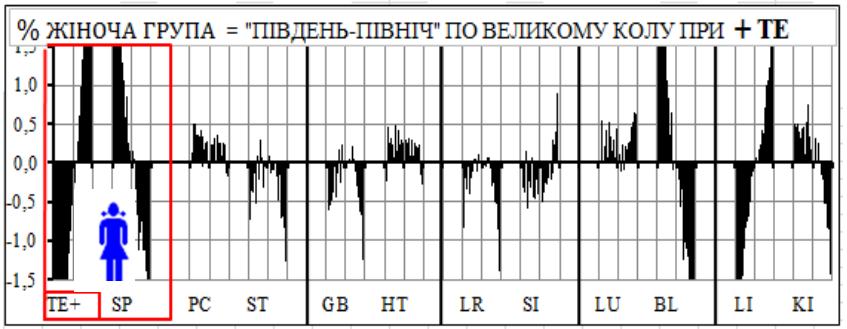
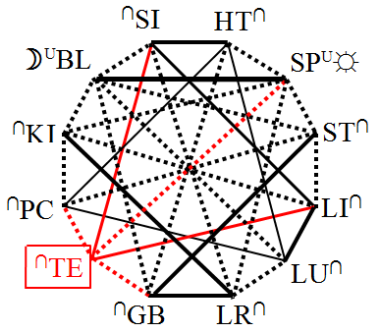
Зростання активності **SP** веде до **-TE** (мал.2.9). В даному випадку Матричні зв'язки указують шлях біофізичної трансформації каналів. Для **"-TE"** (**+SP = -TE**). Указаним шляхом можна передбачити активність любого з наведених каналів...

Зростання активності **TE** веде до **-SP** (мал.2.10). В даному випадку Матричні зв'язки указують шлях біофізичної трансформації каналів. Для **"-SP"** (**+TE = -SP**). Указаним шляхом можна передбачити активність любого каналу...



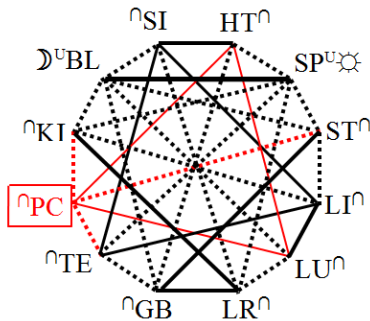


Мал.2.9 Матрична ідентифікація системної залежності (південь-північ) при **+ SP**



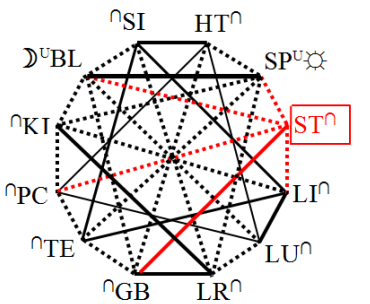
Мал.2.10 Матрична ідентифікація системної залежності (південь-північ) при **+ TE**

Зростання активності **PC** веде до **-ST** (мал.2.11). В даному випадку Матричні зв'язки указують шлях біофізичної трансформації. Для “-ST” (+PC= -ST). Указаним шляхом передбачається активність любого каналу.



Мал.2.11 Матрична ідентифікація системної залежності (південь-північ) при **+ PC**

Зростання активності **ST** веде до **-PC** (мал.2.12). В даному випадку Матричні зв'язки указують шлях біофізичної трансформації каналів. Для “-PC” (+ST= -PC). Указаним шляхом можна передбачити активність любого з каналів...



Мал.2.12 Матрична ідентифікація системної залежності (південь-північ) при **+ ST**

### Загальні висновки

1. Матрична експертиза системної біофізичної залежності за правилом “ПІВ-ДЕНЬ–ПІВНІЧ” підтверджує експериментальні дані і структурну логічність “Вегетативної матриці Макаца”.

1. Матрична експертиза системної біофізичної залежності за правилом “ДІД-ВНУК (БАТЬКО-СИН)” підтверджує експериментальні дані і структурну логічність “Вегетативної матриці Макаца”.

2. Звертає на себе увагу функціональна універсальність Матриці...

### Список використаної літератури

1. Макац В.Г., Макац Д.В., Макац Е.Ф., Макац Дм.В. Лекция–3 Традиционные гипотетические основы китайской Чжень-цзю терапии // Медиздат, РФ, Рефлексотерапевт– № 6/2011–С.4–14.
2. Макац В.Г., Макац Д.В., Макац Е.Ф., Макац Дм.В. Лекция–5 Биофизическая реальность прогноза вегетативных расстройств. Ошибки традиционной китайской иглотерапии // Медиздат, РФ, Рефлексотерапевт № 11/2011–С.3–18.
3. Макац В.Г., Макац Д.В., Макац Е.Ф., Макац Дм.В. Лекция–6 Современные проблемы диагностики вегетативного гомеостаза. Принципиальная оригинальность нового функционального направления (часть 1) // Медиздат, РФ, Рефлексотерапевт №12/2011–С.3–21.
4. Makats V., Makats D., Makats D., Makats E. Unknown Chinese acupuncture (reality, errors, problems). Vol. I – Vinnytsia: “Naukova Initsiatyva”, Editorial office “Nilan Ltd.”, 2016. – 276 ISBN 978-966-2932-80-5
5. Makats V., Makats D., Makats D., Makats E. Unknown Chinese acupuncture (biophysical atlas of systemic dependency). Vol.II – Vinnytsia: “Naukova Initsiatyva”, Editorial office “Nilan Ltd.”, 2016. – 214p. ISBN 978-966-2932-80-5